

電源開発(株) 正員 ○石井 好正
 埼玉大学工学部 正員 松山 成興
 埼玉大学工学部 正員 奥村 敏恵

1.はじめに 本州四国連絡橋には鉄道と道路の併用橋が計画されているが、ここでは車両の走行中に橋梁が水平方向に振動した場合を想定し、水平方向に振動する軌道上を走行する車両の動的挙動とその安全性について報告する。本研究は 国鉄仕様の $1/5$ 模型車両を用いた模型実験と、実験に用いた模型車両を力学的モデルにおきかえて電算機で解析するモデル解析からなっている。対象とした車両は ウラ1形2軸貨車とホキ300形2軸ボギー貨車である。模型車両の相似律を表-1に示す。車両の積載状態は 荷重満載状態(積車)と車両の右半分に荷重を偏載した状態(片積)の2つを考えて実験及びモデル解析を行なった。

表-1

長さ	質量	時間	慣性モーメント	速度	加速度	振動数	ばね定数	減衰定数	力
$1/5$	$1/125$	$1/\sqrt{5}$	$1/3125$	$1/\sqrt{5}$	$1/1$	$\sqrt{5}/1$	$1/25$	$1/25\sqrt{5}$	$1/125$

2. モデル解析 次にモデル解析について述べる。計算順序としては、独立変数である力等の運動方程式を立ててから必要な力を計算し、輪重は車輪軸の約合条件から求め、横圧はクリープ力とレール小返りの和として求めた。クリープは線型クリープ理論に従った。また計算途中で車体の動搖が大きくなると輪重が負(レールと車輪が引張りあう状態)が生じることがある。このときは負になった車輪の輪重を0とし、もう一方の車輪に半車体分の重量が作用するものとして、車輪軸の約合条件からバネ力を計算しあげることにした。それと車体の大きな動搖を考慮するために、車体のローリングやヨーイングの運動方程式を立てる際に、ばね力によるモーメントのうち長さを車体の回転角の関数と考えた。この2点とばねの非線形特性を取り入れるために、計算法としては Runge-Kutta-Gill 法を用いて、電算機によって数値解析を行なった。モデルの自由度のうち、本解析では水平に振動する車両の解析を行なうため、車体、車輪軸及びボギー貨車の台車の前後動、上下動、ピッキングの自由度は省略した。さらに車輪はレールから浮き上がるがあってもその量はわずかであるとして車輪軸のローリング動も省略した。

図-1にウラ1形貨車の力学モデルを示す。モデルの自由度は車体の横動、ローリング、ヨーイング(y_B , ψ_B , ϕ_B)と前後の車輪軸の横動とヨーイング(y_i , ψ_i , $i=1, 2$)の7自由度を仮定し、車体と車輪軸は線形ばねとダンバーで結合せた。

図-2にホキ300形貨車のモデルを示す。台車は2つの車輪軸を有するが、本モデルでは自由度の省略のために、台車には1組の車輪軸を仮定した。

図-1 ウラ1型貨車走行モデル

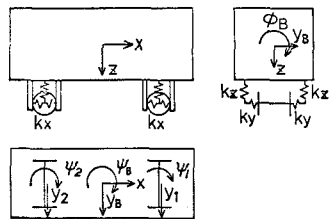


図-2 ホキ300型貨車走行モデル

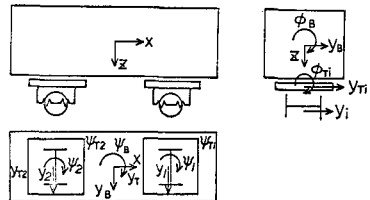
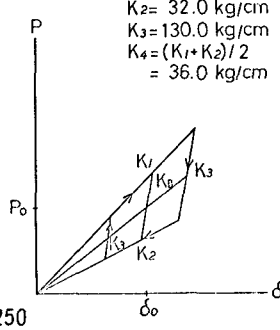


図-3 履歴曲線

(a) 枕バネ

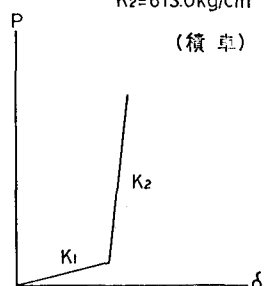
$$\begin{aligned} K_1 &= 40.0 \text{ kg/cm} \\ K_2 &= 32.0 \text{ kg/cm} \\ K_3 &= 130.0 \text{ kg/cm} \\ K_4 &= (K_1 + K_2)/2 \\ &= 36.0 \text{ kg/cm} \end{aligned}$$



(b) リンフの横力

$$\begin{aligned} K_1 &= 26.0 \text{ kg/cm} \\ K_2 &= 613.0 \text{ kg/cm} \end{aligned}$$

(積車)



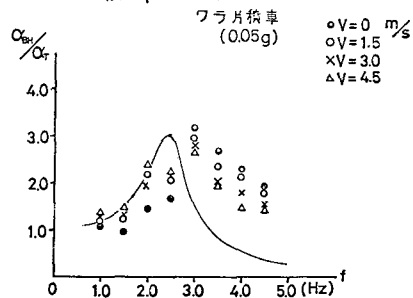
で、モデルの自由度は車体の横動、ローリング、ヨーイング (ψ_B, φ_B) と前後の台車の横動、ローリング、ヨーイング ($\psi_{Ti}, \varphi_{Ti}, \varphi_{Bi}$, $i = 1, 2$) 及び車輪軸の横動、ヨーイング (ψ_i, φ_i , $i = 1, 2$) の 13 自由度である。車体一台車間の鉛直方向(上下方向)のばね(枕ばね)は、その静的な荷重一たわみ曲線をもとに図-3の(a)のように三角形のループを仮定した。また車体と台車間にリンクを介しているので、リンクの横変位とリンクの横力の間の関係も静的試験から図-3の(b)のような 2 つのばね定数をもつばねとダンパーの組合せと仮定した。

3. 実験及び結果 模型実験は埼玉大学工学部所有の軌道振動台を用い、模型車両の走行速度を 1.5, 3.0, 4.5 m/sec (実車換算 12, 24, 36 km/hr) の 3 種類として実験を行なった。加振条件は振動台(入力)の加速度を一定とし、振動数を 1.0 ~ 4.5 Hz まで変化させて測定を行なった。設定の入力加速度は 0.05 g と 0.10 g の 2 通りとした。測定項目は車体の重心位置での水平及び鉛直加速度と車輪の輪重・横圧である。

測定結果は次のように整理した。車体の中央の側面の水平及び鉛直加速度はその平均パワー α_{BH}, α_{BV} を振動台の加速度の平均パワーで除した値の $\alpha_{BH}/\alpha_T, \alpha_{BV}/\alpha_T$ を整理し、輪重は平均の輪重 P_{mean} と最小輪重との差 ΔP を平均の輪重で除した値 $\Delta P/P_{mean}$ でまとめ、その結果の一例をモデル解析の結果とともに図-4~6 に示した。図中に示した実線が走行速度 3.0 m/sec の計算結果である。図-4 にはワラ形貨車の荷重偏載の場合の加振 0.05 g の加速度応答を、図-5 にはホキ形貨車の積車の加振 0.05 g の加速度応答を示した。また、ホキ形貨車の荷重偏載の場合の加振 0.10 g の左輪の輪重の応答を図-6 に示した。加速度応答のピークは、ワラ形貨車の積車で 2.5 Hz、荷重偏載の場合で 2.5 ~ 3.0 Hz に生じ、ホキ形貨車では積車で 1.5 Hz、荷重偏載の場合で 2.0 Hz であった。これらの振動数はそれぞれの下心ローリングの固有振動数であり、輪重・横圧の応答も大きくなかった。また、これらの振動数附近で、振動台の変位振幅が大きくなると、積車の場合には左右の車輪が交互に浮き上がりながら走行し、荷重偏載の場合には荷重の偏載をしていない車輪(車体の右半分に荷重を偏載した場合の左車輪)が周期的に浮き上がりながら走行していくことが観察された。

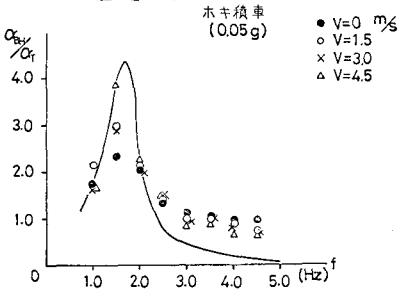
4. 結論 水平に振動する軌道上を走行する車両はその下心ローリングの固有振動数付近で動搖が激しくなり、走行性能がそこなわれることが確認された。実験結果の傾向は今回のモデル解析で把握できたと思われるが、今後もモデル化について検討を加えてモデル解析の精度をあげていきたい。

図-4 加速度応答



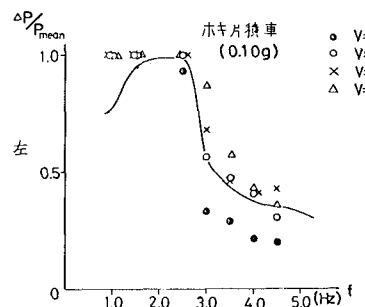
○ V=0 m/s
○ V=1.5
× V=3.0
△ V=4.5

図-5 加速度応答



● V=0 m/s
○ V=1.5
× V=3.0
△ V=4.5

図-6



参考文献：本州叫国連絡橋の列車走行に関する研究

昭和47年度、昭和50年度、昭和51年度中間報告

日本鉄道施設協会